

Starkniederschlagshöhen und -spenden gemäß KOSTRA-DWD-2010R

Auswertungszeitraum von 1951 - 2010, Januar - Dezember

Rasterfeld: 12025

Zeile: 12

Spalte: 25

Seite: 1/2

| Dauerstufe D | | Wiederkehrzeit T | | | | | | | | | | | | | | | | | |
|--------------|-----|------------------|------------|------|------------|------|------------|------|------------|------|------------|------|------------|------|------------|------|------------|-------|------------|
| | | 1 a | | 2 a | | 3 a | | 5 a | | 10 a | | 20 a | | 30 a | | 50 a | | 100 a | |
| min | Std | mm | l / (s ha) | mm | l / (s ha) | mm | l / (s ha) | mm | l / (s ha) | mm | l / (s ha) | mm | l / (s ha) | mm | l / (s ha) | mm | l / (s ha) | mm | l / (s ha) |
| 5 | | 5,0 | 166,7 | 6,4 | 213,3 | 7,2 | 240,0 | 8,2 | 273,3 | 9,6 | 320,0 | 11,0 | 366,7 | 11,8 | 393,3 | 12,8 | 426,7 | 14,1 | 470,0 |
| 10 | | 7,8 | 130,0 | 9,7 | 161,7 | 10,8 | 180,0 | 12,3 | 205,0 | 14,2 | 236,7 | 16,1 | 268,3 | 17,2 | 286,7 | 18,6 | 310,0 | 20,5 | 341,7 |
| 15 | | 9,6 | 106,7 | 11,9 | 132,2 | 13,3 | 147,8 | 15,0 | 166,7 | 17,3 | 192,2 | 19,6 | 217,8 | 21,0 | 233,3 | 22,7 | 252,2 | 25,0 | 277,8 |
| 20 | | 10,8 | 90,0 | 13,5 | 112,5 | 15,1 | 125,8 | 17,0 | 141,7 | 19,7 | 164,2 | 22,3 | 185,8 | 23,9 | 199,2 | 25,8 | 215,0 | 28,5 | 237,5 |
| 30 | | 12,4 | 68,9 | 15,7 | 87,2 | 17,6 | 97,8 | 19,9 | 110,6 | 23,2 | 128,9 | 26,4 | 146,7 | 28,3 | 157,2 | 30,6 | 170,0 | 33,9 | 188,3 |
| 45 | | 13,8 | 51,1 | 17,7 | 65,6 | 20,0 | 74,1 | 22,9 | 84,8 | 26,8 | 99,3 | 30,7 | 113,7 | 33,0 | 122,2 | 35,9 | 133,0 | 39,8 | 147,4 |
| 60 | | 14,6 | 40,6 | 19,1 | 53,1 | 21,7 | 60,3 | 25,0 | 69,4 | 29,5 | 81,9 | 34,0 | 94,4 | 36,6 | 101,7 | 39,9 | 110,8 | 44,4 | 123,3 |
| 90 | | 16,2 | 30,0 | 20,8 | 38,5 | 23,5 | 43,5 | 26,9 | 49,8 | 31,5 | 58,3 | 36,1 | 66,9 | 38,8 | 71,9 | 42,2 | 78,1 | 46,8 | 86,7 |
| 120 | 2 | 17,4 | 24,2 | 22,1 | 30,7 | 24,9 | 34,6 | 28,3 | 39,3 | 33,0 | 45,8 | 37,7 | 52,4 | 40,5 | 56,3 | 43,9 | 61,0 | 48,6 | 67,5 |
| 180 | 3 | 19,3 | 17,9 | 24,1 | 22,3 | 27,0 | 25,0 | 30,5 | 28,2 | 35,3 | 32,7 | 40,2 | 37,2 | 43,0 | 39,8 | 46,5 | 43,1 | 51,4 | 47,6 |
| 240 | 4 | 20,8 | 14,4 | 25,7 | 17,8 | 28,6 | 19,9 | 32,2 | 22,4 | 37,1 | 25,8 | 42,0 | 29,2 | 44,9 | 31,2 | 48,5 | 33,7 | 53,5 | 37,2 |
| 360 | 6 | 23,0 | 10,6 | 28,1 | 13,0 | 31,1 | 14,4 | 34,8 | 16,1 | 39,8 | 18,4 | 44,9 | 20,8 | 47,8 | 22,1 | 51,6 | 23,9 | 56,6 | 26,2 |
| 540 | 9 | 25,5 | 7,9 | 30,7 | 9,5 | 33,8 | 10,4 | 37,6 | 11,6 | 42,8 | 13,2 | 48,0 | 14,8 | 51,0 | 15,7 | 54,8 | 16,9 | 60,0 | 18,5 |
| 720 | 12 | 27,5 | 6,4 | 32,8 | 7,6 | 35,9 | 8,3 | 39,8 | 9,2 | 45,1 | 10,4 | 50,4 | 11,7 | 53,4 | 12,4 | 57,3 | 13,3 | 62,6 | 14,5 |
| 1080 | 18 | 30,5 | 4,7 | 35,9 | 5,5 | 39,1 | 6,0 | 43,1 | 6,7 | 48,5 | 7,5 | 54,0 | 8,3 | 57,1 | 8,8 | 61,2 | 9,4 | 66,6 | 10,3 |
| 1440 | 24 | 32,8 | 3,8 | 38,3 | 4,4 | 41,6 | 4,8 | 45,7 | 5,3 | 51,2 | 5,9 | 56,7 | 6,6 | 60,0 | 6,9 | 64,1 | 7,4 | 69,6 | 8,1 |
| 2880 | 48 | 42,0 | 2,4 | 49,3 | 2,9 | 53,6 | 3,1 | 58,9 | 3,4 | 66,2 | 3,8 | 73,4 | 4,2 | 77,7 | 4,5 | 83,1 | 4,8 | 90,3 | 5,2 |
| 4320 | 72 | 48,6 | 1,9 | 56,9 | 2,2 | 61,7 | 2,4 | 67,8 | 2,6 | 76,1 | 2,9 | 84,4 | 3,3 | 89,2 | 3,4 | 95,3 | 3,7 | 103,6 | 4,0 |

Angaben in mm: Bemessungsniederschlagswerte h(n)

Angaben in l / (s ha): Regenspende R(n) mit $R(n) = h(n) \times 1,666667 / D[\text{min}]$

Toleranzbereiche:

+/- 10 % für $1 \text{ a} \leq T \leq 5 \text{ a}$

+/- 15 % für $5 \text{ a} < T \leq 50 \text{ a}$

+/- 20 % für $50 \text{ a} < T \leq 100 \text{ a}$

Datenbasis: KOSTRA-DWD-2010R des Deutschen Wetterdienstes. Die Regenspende wurde auf Basis des Bemessungsniederschlags zur jeweiligen Andauer berechnet.

Für die Richtigkeit und Aktualität der Angaben wird keine Gewähr übernommen. Erstellt 07/2022.

Starkniederschlagshöhen und -spenden gemäß KOSTRA-DWD-2010R

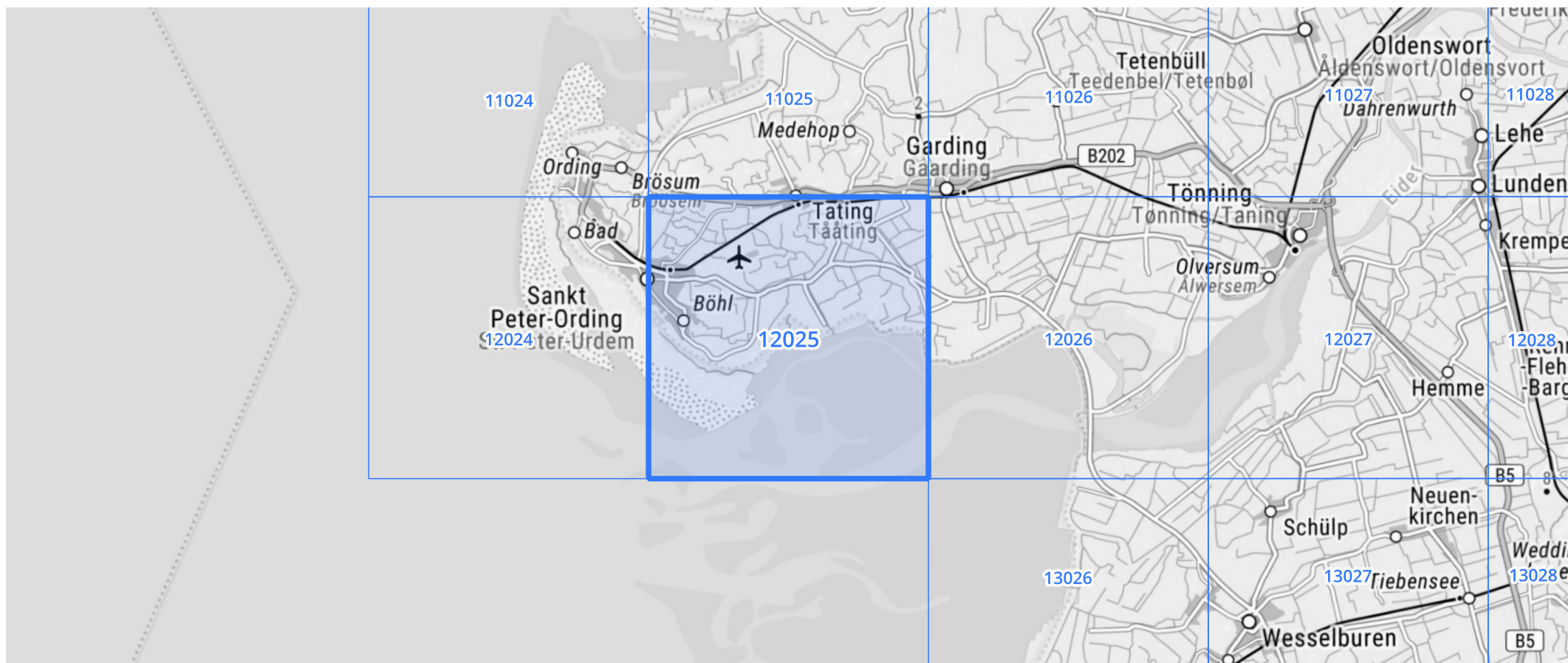
Auswertungszeitraum von 1951 - 2010, Januar - Dezember

Rasterfeld: 12025

Zeile: 12

Spalte: 25

Seite: 2/2



Quelle Rasterdaten: KOSTRA-DWD-2010R des Deutschen Wetterdienstes.

Kartendarstellung: © Bundesamt für Kartographie und Geodäsie (2022), Datenquellen: https://sgx.geodatenzentrum.de/web_public/gdz/datenquellen/Datenquellen_TopPlusOpen.html

Für die Richtigkeit und Aktualität der Angaben wird keine Gewähr übernommen. Erstellt 07/2022.